

接触式变流机

苏联 Ю. Г. 托尔斯托夫著

樊 元 武譯

水利电力出版社

目 录

總論	(3)
第一章 三相橋式整流电路的基本关系	(8)
1. 控制角和換相角	(8)
2. 換相过程	(12)
3. 整流电压	(15)
4. 变压器的相电流。整流器的电流。变压器的标准功率	(18)
5. 反向电压	(23)
第二章 接有饱和抗流綫圈的接触式变流机的工作 理論基础	(26)
1. 当饱和抗流綫圈具有理想磁化特性时，接触式变流机的工作情况	(26)
2. 阶段的計算長度	(36)
3. 接触式变流机的负载变化范围和可靠性	(37)
4. 触点开断后，接触式变流机中所进行的过程	(42)
5. 对反向电压增长的最小延迟角度的选择	(51)
第三章 当考虑磁化曲綫的实际特性时，接有饱和 抗流綫圈的接触式變流机的工作情况	(53)
1. 实际磁化特性	(54)
2. 接有实际饱和抗流綫圈的接触式变流机的基本关系	(55)
3. 接触式变流机的负载变化范围	(58)
4. 鎖定负载值的确定	(61)
5. 饱和抗流綫圈的	(63)

第四章 接触式變流机工作时的电压損失	(72)
1. 感抗电压損失的計算	(72)
2. 有功电压損失的計算	(76)
3. 接触式变流机的外特性	(79)
4. 附加磁化对接触式变流机外特性的影响	(80)
5. 接触式变流机的功率因数	(83)
第五章 接触式變流机的調整	(85)
1. 触点开断瞬間开断相飽和抗流繞圈中的磁感应的確定	(85)
2. 当重叠角的数值恒定不变时，接触式变流机的工作情况	(89)
3. 无载可靠性恒定不变时的控制特性	(92)
第六章 三抗流繞圈电路的接触式变流机的工作特點	(93)
1. 在三抗流繞圈电路的情况下临界負載的計算	(94)
2. 最适宜的阶段长度的选择	(103)
3. 接触式变流机的最大可能过載能力	(106)
4. 当負載大於临界值时接触式变流机中的过程	(108)
第七章 閉合抗流繞圈	(108)
1. 閉合抗流繞圈的作用原理	(109)
2. 磁滞迴线的宽度对閉合电流的影响	(113)
3. 脉冲的附加磁化作用	(115)
第八章 接触式變流机的构件	(117)
1. 接触机构	(117)
2. 接触式变流机的触点	(123)
3. 饱和抗流繞圈	(124)

緒論

制造在低压下（不超过 400—500 伏）能将交流變換为直流、且具有高效率的大型變流机，曾經是一个长时期沒有解决的問題，是多次研究的对象。

电压低的强大电流首先在化学工业及电冶金工业的电解过程中应用。从安全技术的观点出发，在这些生产部門中採用高电压是不容許的。需要强大的电流是由于电解生产的产量系与通过电解槽的电量（安培小时数）成正比，因此电解企业的生产率实际上决定于电流值。

到最近十年为止，电解企业中或者採用迴轉變流机来變流，或者採用电动发电机来變流，电动发电机是由同步电动机和低压直流发电机組成的机組，同步电动机与低压直流发电机之間系由公用軸連結起来。靜止變流器（水銀整流器、引燃管等）仅在电压較高的情况下（超过千伏时）才具有高的效率。因此，在容許如此高的电压的場合下（例如在电解鋁时），才採用靜止變流器。

在直流电压低的情况下，旋轉變流机所具的效率为96—97%，而到目前为止，它們仍能满足运行要求。但是由于电解企业生产量的增长，出現了增大电流的必要性。从一台旋轉變流机可以得到的电流值受其整流子—电刷系統所限制。甚至在 1000—2000 安的机器中，整流子就已經非常笨重、而且是最可能发生故障的地方。这种机器的整流子需特加保护，以防腐蝕。因为在电解生产部門的空气中通常存在有足

以产生腐蚀作用的大量活泼的电解产物，所以这种机器必须加以密封，并且必须用预先净化的空气来冷却它们。

为了获得强大的电流，必须同时安装相当数量的旋转变流机，由于这个缘故，电解企业的变流站就非常庞大和复杂，就需要大量的维护人员。当功率很大时（4—5万瓩），96—97%的效率已不能令人满意了。

由于这些原因，最近对寻求没有上述缺点的、能将交流变换为直流的其他方法的工作甚为注意。对上述目的而言，接触式变流机是一种具有使用前途的变流机。

因为接触式变流机的内阻很小（从而功率损失也很小），所以可以预料到：接触式变流机的效率将比其他变流机高得多。为了在接触式变流机中实现整流过程，必须使变压器的相应相闭合和开断；相应相的闭合和开断系利用负载与相应相之间的金属触点的直接接触来实现，这同样只会引起很小的内部功率损失。

但是，当制造大型接触式变流机时，在实现无火花换相方面发生了困难。为了使正在开断的触点之间避免发生电弧起见，必须在变压器的该相电流经过零值的瞬间开断触点。

如果触点的开断较此瞬间稍微早一些或者稍微迟一些，那末触点之间不可避免地会发生电弧，电弧就会引起触点的损坏，并使变流机的整流作用终止。

甚至于当触点准确地在电流经过零值的瞬间开断的情况下，电弧仍旧可能发生，因为一俟触点开断后，反向电压在触点处就立刻开始迅速地增长了。如果此项电压的增长率很大，则在任何瞬间它都将大于分离触点间的击穿电压，那末就会发生所谓的逆弧，逆弧会引起触点的损坏、整流作用的终止以及电源变压器诸相的短路。在触点间隙处并联以强大

电容，可使反向电压的增长率降低少許，但是，由于下列原因，触点準確地在电流經過零值的瞬间开断是很困难的：

- 1) 由于触点的驅动机构本身的不精确性，触点开断的瞬间在改變着；
- 2) 由于接触表面逐漸磨損，开断瞬间經常移动；
- 3) 由于触点因接触式變流机的冷却状况及負載不稳定而引起的热膨胀，开断瞬间也会移动；
- 4) 当負載變动时，电流經過零值的瞬间就会移动；
- 5) 当供电網路的电压變动时，供給电压經過零值的瞬间也会移动。

所有这些原因曾經在长时期內妨碍着电流大于10—20安的接触式變流机的制造工作。此类电器过去沒有任何重大的工业意义。

从1940—1941年开始，在接触式變流机的发展方面有了轉變，这种轉變系由磁性合金方面的研究成果所引起。冶金工作者已能制造磁化特性曲綫自未飽和部分过渡到飽和部分时会发生显著變化的磁性合金。

当綫圈的芯子系由上述合金制成时，则綫圈在芯子处于未饱和状态的情况下具有很大的电感，若芯子饱和时，则其电感接近于零值。

佛·柯彼耳曼在1941年发表了許多篇关于採用此类饱和抗流綫圈以改善接触式變流机換相条件的著作。

虽然柯彼耳曼在其理論性研究著作中所叙述的某些原則是錯誤的，但是，採用饱和抗流綫圈以改善變流机換相条件的观念是絕對正确的，而在实际应用中甚有成效。

利用饱和抗流綫圈，实际上能够获得无火花換相，从而能够完成电压在500伏以下、电流为几万安培的接触式變流

机的設計。

接触式變流机的运行証明：它們无疑是一种較旋轉變流机（电动发电机或迴轉變流机）更为完善的机器。

接触式變流机是比較簡單和可靠的机器，同时它們所具的效率为 99.5%。

接触式變流机的严重缺点是：它們消耗交流供电網路中的无功功率（电动发电机及迴轉變流机能够发出无功功率，因而可使它們工作的交流網路的 $\cos \varphi$ 改善）。

所以，如果現有电解企业中已装置着具有同步电动机的机組，則当此类企业扩建时，採用接触式變流机是适宜的。在其他採用接触式變流机的情况下，为了补偿无功功率的不足，应当装置同步补偿机。

虽然接触式變流机具有自己的特点（系由飽和抗流綫圈的存在所引起），但是这种變流机在作用原理方面系与閑性變流器（水銀整流器或其他變流器）相类似。

飽和抗流綫圈使交變电流的形状如此地改變：电流不像在正弦律电流變化特性情况下那样仅在一点變为等于零值，而是在整段時間間隔¹內等于零值（或接近于零值），時間間隔¹称为阶段长度。在这个時間間隔內，可以容許一定程度的触点“遊隙”、电網电压的變動、負載的變動等等。

此外，在开断触点移动的時間內，飽和抗流綫圈可以延緩反向电压的增长（使增长率減小），而在任何瞬間使其保持在低于触点間隙击穿电压的水平。

这样，就可以防止逆弧以及保証接触式變流机必要的工作可靠性。利用飽和抗流綫圈可在一定的程度內調整整流电压值。

三相橋式綫路图是接触式變流机最通用的綫路图。在此

种整流線路的情况下，變压器受利用的程度比在三相線路的情况下为高，而整流电压的脈动情况和六相線路中的一样。此外，在三相橋式線路中，飽和抗流線圈（變流机最貴重的部分）可以得到更好的利用。

由于这些原因，将在后面研究适用于三相橋式整流線路的變流机的計算和工作情况，而三相橋式整流線路的工作原理（与變流机器的型式无关）則在第一章中說明。

計算其他整流線路並无任何原則上的困难，而可以很容易地根据整流理論中的某些关系式来进行計算。

第一章 三相橋式整流电路的基本关系

1. 控制角和換相角

圖 1 系三相橋式整流电路。

在所有以后的計算中，我們將認為平波抗流綫圈的电感量是无穷大，即認為整流后电流 I_g 完全平直。

为了更加明确起見，假定整流器 $a_1, b_1, c_1, a_2, b_2, c_2$ 系採用控制式离子整流器（閘流管或水銀灯泡）。如后所示，此种离子整流器的特性和接触式變流机的特性极为相近。

柵极控制式离子整流器只有在下列两个条件下才能点燃：

- 1) 当整流器的阳极（图1上三角形的底边）对阴极（通过三角形頂点而与底边平行的短綫）有正电位时；
- 2) 当整流器的柵极开放时。

祇有当通过整流器的电流自然地經過零值时，才能熄灭整流器。用柵极閉塞法来截断通过整流器的电流是不可能的，因而，假使整流器已經点燃，則在点燃之后，不管是否将有閉塞电压送到柵极上，当电流未經過零值时，它是不会熄灭的。当整流器燃着时，柵极无閉塞作用。

但是一俟整流器熄灭后，柵极的閉塞作用就立刻恢復了，而祇有在上述的两个条件实现时，整流器才能重新点燃。图 2 系變压器諸相 A, B 及 C 的电动势 e_A, e_B 及 e_C 的正弦曲綫。

假定整流器 a_1 及 c_1 在所考慮的瞬間內燃弧。

假使将整流器內部的电压降略去不計，則可認為：当整流器燃着时，其阳极与阴极具有同一电位。

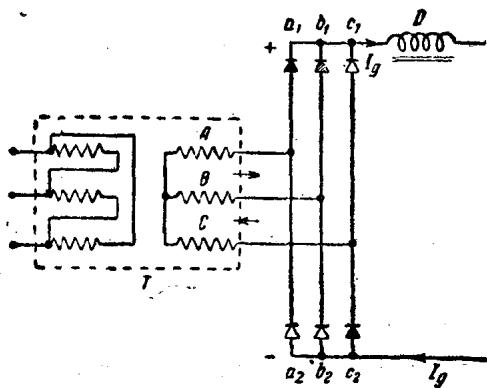


图1 三相桥式整流电路

T —三相电力变压器，其初級繞捲通常接成三角形，而次級繞捲通常接成星形； A 、 B 、 C —变压器次級繞捲諸相； a_1 、 b_1 、 c_1 、 a_2 、 b_2 、 c_2 —整流器； D —平波抗流圈，用以減弱整流后电流的脈動； I_g —整流后电流。

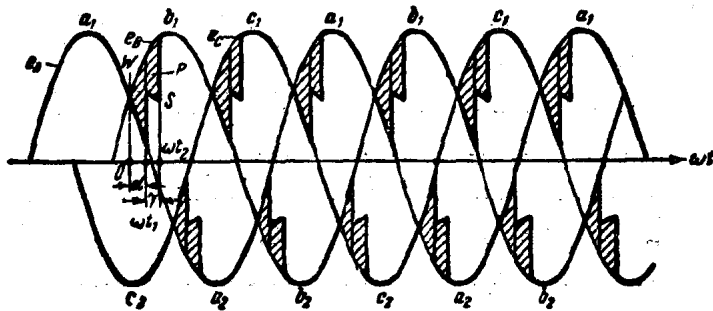


图2 变压器諸相电动势的正弦曲线

因此，当上述整流器燃着时，整流器 a_1 的阳极和阴极具有和 A 相电动势相等的电位 e_A ，而整流器 c_1 的阳极和阴极则具有和 C 相电动势相等的电位 e_c 。

至于說到未燃着的整流器，则它们的阴极和阳极的电位

不相等。例如，整流器 b_1 的阳极具有和 B 相电动势相等的电位 e_B ，而阴极则经过燃着的整流器 a_1 与 A 相连接，因此，具有和 A 相电动势相等的电位 e_A 。从图 2 中可以看出：在 W 点（相电动势 e_A 及 e_B 的正弦曲线的交点）之左，整流器 b_1 的阳极电位低于其阴极电位，因此，在此点之左，即使开放整流器 b_1 的栅极，它也不能点燃，然而在 W 点之右，此整流器的阳极电位就变为高于阴极电位，因此，点燃整流器所必要的第一个条件是具备了。

由专门装置将正的控制脉冲周期地送到整流器的栅极上，以开放经常为栅极上负偏压所闭塞的整流器。每週内有一次脉冲送到每只整流器上。

送到相邻整流器上（例如上面一组整流器）的脉冲之间的相位移，和变压器相电动势的相位移一样，为 120° 。送到第二组整流器上（即下面一组整流器。——译者）的脉冲相互之间的相位移也为 120° ，而它们对第一组同一相上的脉冲的相位移则为 180° 。

这样，脉冲电压就形成六相系统。脉冲间的相位系严格固定，并在正常运行过程中不应变动。

但是整个脉冲系统的相位对变压器相电动势的关系可用手动移相器来改变，或可自动地改变。其中包括调整过程。这样，调定控制脉冲的相应相位，就可如愿地在任何瞬间用栅极开放整流器。

我们假定：栅极的开放不发生在 W 点，而发生在稍右于 W 点的瞬间 t_1 ，即相当于某一相位 $\alpha_1 = \omega t_1$ 之时（式中 $\omega = 2\pi f$ ——整流器交流电源的角频率）。那末整流器 b_1 将在 t_1 的瞬间起燃。

从线电压经过零值的瞬间（相当于 W 点）起以电角度计

量的角 α 称为整流器的控制角或起燃角。若變压器 A 、 B 、 C 諸相的綫捲不具有电感，则在 t_1 的瞬間电流会立刻从 A 相轉移到具有較高电位的 B 相上去，而整流器 a_1 一俟整流器 b_1 点燃时就会立刻熄灭。

但是，變压器常具有漏感，因此，电流不可能立刻降到零。当整流器 b_1 点燃时，整流器 a_1 在某段時間內仍在燃着，並且从图 1 中可以看出，在此燃着時間內，變压器的 A 相和 B 相短路。 A 相中的电流此时开始迅速下降，而 B 相中的电流則开始增大，使这些电流的总和，在任意瞬間，将等于整流后电流（由于平波抗流綫圈的电感为无穷大，整流后电流是不会變化的）。

最后， A 相中的电流于某一瞬間 t_2 降至零值，而整流器 a_1 熄灭。电流从變压器一相轉移到另一相的过程称为換相過程，而相当于此过程持續時間的角度系用 γ 表示，称为換相角。由图 1 可知，当整流器 a_1 燃着时，整流电流正导綫的电位将等于 A 相的电动势，亦即 e_A ，当 b_1 燃着时，则等于 B 相的电动势……等等，因为各有关相經過整流器和正导綫相連接。当整流器 a_1 和 b_1 同时燃着时（在換相時間內），正导綫的电位将为 A 相电动势和 B 相电动势間的某一平均值。这种电位的数值将在后面确定。在图 2 上，PS 部分表示正导綫的电位在換相時間內的變化。

正导綫对變压器零点的电位的全部曲綫系用粗綫（位于横坐标軸之上）描繪于图 2 上。

在第二組整流器 (a_2 、 b_2 、 c_2) 中进行着完全类似的过程，这些整流器分別使變压器的各相应相和負导綫相連接。

負导綫的电位變化曲綫也用粗綫（位于横坐标軸之下）描繪于图 2 上。

正負導線之間的電位差，亦即圖2中上、下曲線在任意瞬間的縱坐標之差，為整流器整流電壓的瞬時值。

2. 換相過程

現在我們來更詳細地研究電流從變壓器的一相轉移到另一相的過程。

我們來研究A相及B相的換相過程。

若時間系從相電動勢 e_A 及 e_B 的正弦曲線相交之瞬間算起，則這些電動勢可寫成下式：

$$\left. \begin{aligned} e_A &= E_m \sin(150^\circ + \omega t), \\ e_B &= E_m \sin(30^\circ + \omega t). \end{aligned} \right\} \quad (I.1)$$

這裡 E_m ——相電動勢的振幅值。

在整流器 b_1 點燃的時候，可用圖3上所繪的等效電路圖來代替圖1的電路圖。

此处用 L 表示變壓器及供電網路折合到變壓器次級繞組側的漏感。

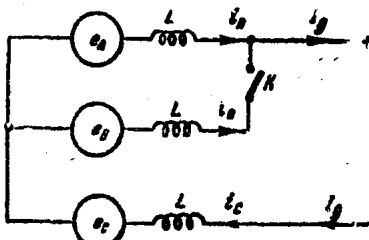


圖3 三相橋式整流電路的等效電路圖

閘刀開關 K 閉合的瞬間相當於整流器 b_1 點燃的瞬間。對圖3上的電路而言，在閘刀開關 K 閉合的瞬間所開始的過程，可用下列聯立方程式來說明：

$$\left. \begin{aligned} e_A - e_B &= L \frac{di_A}{dt} - L \frac{di_B}{dt}, \\ i_A + i_B &= I_g. \end{aligned} \right\} \quad (I.2)$$

大家也知道：閘刀開關的閉合（即整流器 b_1 的點燃）系在 $\alpha = \omega t_1$ 之時發生，此時， $i_{A0} = I_g$ 以及 $i_{B0} = 0$ 。

将 i_3 值 $i_3 = I_s - i_A$ 代入联立方程式 (I.2) 的第一式中, 得:

$$e_A - e_B = 2L \frac{di_A}{dt} \quad (I.2a)$$

或将联立方程式 (I.1) 中的 e_A 及 e_B 值代入, 则得:

$$\begin{aligned} e_A - e_B &= E_m [\sin(150^\circ + \omega t) - \sin(30^\circ + \omega t)] = \\ &= 2E_m \cos(90^\circ + \omega t) \cdot \sin 60^\circ = \sqrt{3} E_m \cos(90^\circ + \omega t) = \\ &= -\sqrt{3} E_m \sin \omega t. \end{aligned}$$

因此,

$$-\sqrt{3} E_m \sin \omega t = 2L \frac{di_A}{dt}. \quad (I.3)$$

将此方程式的两部分各乘以 dt , 并予积分, 积分限为: 左面部分——自 $\omega t_1 = \alpha$ 至 ωt ; 右面部分——相应地自 I_s 至 i_A , 则

$$\frac{\sqrt{3}}{\omega} E_m (\cos \alpha - \cos \omega t) = 2L(I_s - i_A),$$

由此,

$$i_A = I_s - \frac{\sqrt{3} E_m}{2L\omega} (\cos \alpha - \cos \omega t). \quad (I.4)$$

相应地:

$$i_B = \frac{\sqrt{3} E_m}{2L\omega} (\cos \alpha - \cos \omega t). \quad (I.5)$$

必须注意, (I.4) 及 (I.5) 两式只在 $\omega t > \alpha$ 的情况下才是正确的, 因为换相过程不是在 $t=0$ 的时间开始的, 而是在 $\omega t = \alpha$ 的时间开始的。

这样, (I.4) 及 (I.5) 两式就表示出: 在换相时间內, A 相及 B 相中的电流是按正弦律变化的。

在图 4 上绘有这些相的电流在换相时间內的变化曲线。

由方程式 (I.4) 或 (I.5) 可以很容易地确定换相角 γ ,

因为已經知道：在 $\omega t = \alpha + \gamma$ 时，电流 $i_A = 0$ 及 $i_B = i_g$ 。

将这些值代入上述方程式之一，我們得到：

$$I_g = \frac{\sqrt{3} E_m}{2L\omega} [\cos \alpha - \cos(\alpha + \gamma)].$$

因为 $L\omega = x$ ——实际上就是變压器折合到次級線捲側的相漏抗，那末，

$$\cos \alpha - \cos(\alpha + \gamma) = \frac{2I_g x}{\sqrt{3} E_m}. \quad (1.6)$$

用联立方程式

(1.2) 的第一式，不難求出正導線在換相時間內的電位。实际上，我們已确定了在图 2 上的对變压器次級線捲零點的全部電位。

从图 3 中可以看出，正導線對變压器零點的電位 u_g 在換相時間內將為：

$$u_g^+ = e_A - L \frac{di_A}{dt} = e_B - L \frac{di_B}{dt}.$$

根据公式 (1.2a)

$$L \frac{di_A}{dt} = \frac{e_A - e_B}{2};$$

因此，

$$u_g^+ = e_A - \frac{e_A - e_B}{2} = \frac{e_A + e_B}{2}, \quad (1.7)$$

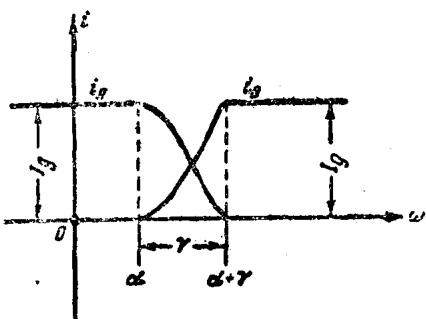


图 4 A 相及 B 相中的电流在換相時間內的变化曲綫

即在換相時間內，正導線（或負導線）的電動勢的算術平均值。

3. 整流电压

現在我們要求出按三相橋式电路連接的整流器的整流电压平均值。

图 5 上繪有整流电压曲綫的一部分。从图中可以看出：位于橫坐标軸上面的部分曲綫具有和橫坐标軸下面的部分曲綫完全一样的形状。这些曲綫之間的相位移为 $\pi/3$ ，並且它們具有相反的符号（即正負相反。——譯者）。但是在確定平均值时，相位移是沒有任何意义的。所以，祇要確定一根曲綫（例如上面一根曲綫）的平均值，再将結果乘以 2，就足够了。

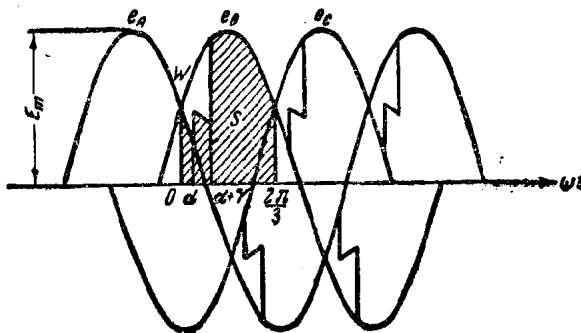


图5 整流电压曲綫的一部分

整流电压曲綫的每个半波是週期性的，並具有 $2\pi/3$ 的週期。因此，整流电压在一週內的平均值将为：

$$U_s = 2 \frac{1}{2\pi/3} \int_0^{2\pi/3} u_s d\vartheta = \frac{3}{\pi} \int_0^{2\pi/3} u_s d\vartheta. \quad (1.8)$$

這裡, $\vartheta = \omega t$

关系式(I.8)右面部分中的积分式, 就是图5上画有斜線的面积 S 。不难看出, 电压 u_g 系由电动势曲线的三个部分所組成: 在 0 至 α 的区段内, 电压值 $u_g = e_A$, 在 α 至 $\alpha + \gamma$ 的区段内, $u_g = \frac{e_A + e_B}{2}$, 以及在 $\alpha + \gamma$ 至 $2\pi/3$ 的区段内,

$$u_g = e_B。$$

因此

$$U_g = \frac{3}{\pi} \left(\int_0^\alpha e_A d\vartheta + \int_\alpha^{\alpha+\gamma} \frac{e_A + e_B}{2} d\vartheta + \int_{\alpha+\gamma}^{2\pi/3} e_B d\vartheta \right). \quad (\text{I.9})$$

但是, 根据图 5

$$e_A = E_m \sin(150^\circ + \vartheta),$$

$$e_B = E_m \sin(-30^\circ + \vartheta).$$

因此

$$\begin{aligned} \frac{e_A + e_B}{2} &= \frac{1}{2} E_m [\sin(150^\circ + \vartheta) + \sin(-30^\circ + \vartheta)] \\ &= E_m \sin(90^\circ + \vartheta) \cos 60^\circ = \frac{1}{2} E_m \cos \vartheta. \end{aligned}$$

代入 (I.9) 中, 得:

$$\begin{aligned} U_g &= \frac{3}{\pi} \left[\int_0^\alpha E_m \sin(150^\circ + \vartheta) d\vartheta + \int_\alpha^{\alpha+\gamma} \frac{1}{2} E_m \cos \vartheta d\vartheta \right. \\ &\quad \left. + \int_{\alpha+\gamma}^{2\pi/3} E_m \sin(-30^\circ + \vartheta) d\vartheta \right]. \end{aligned}$$

进行积分並將限值代入, 得: